

福岡大学工学部 正員。吉田 信夫
松田 有弘

1. まえがき

大型三軸試験機用モールドをもちいて、レキを含んだ土の締固めの試験をおこない乾燥密度に与える含水比、混レキ率、最大粒径の影響を求めた。実験は3因子の複合実験によりわりつけ、その測定値を3変数の2次式に変換し、含水比、混レキ率、最大粒径で数値計算をおこなった結果について検討を加えたものである。

2. 実験装置

突固めには巾=30cm, H=60cmの大型三軸試験機用モールドを使用した。

3. 試料と実験方法

実験で使用した試料は、真砂(0~0.075mm)と、室見川産の砂利(0.075~3.6mm)とを細粒分とし、同じ地点で得られたレキ(20~120mm)を粗粒分とした。(表-1) 細粒分の粒径加積曲線はTalbot式の $P=100 \times (\frac{d}{D})^n$ で $n=0.5$ をもらいた。実験にもらいた含水比は細粒分の含水比であり、混レキ率、最大粒径とともにその組み合わせを図表-1 に示す。

突固めは、4層でエネルギー $E_c=5.625 \text{ kg/cm}^2$ にする様に1層当りの突固めの回数を決めた。

表-1. 使用材料の粒径、比重の一覧表

粒径 (mm)	0.075	0.075	0.15	0.3	0.6	2.5	5.0	20.0	40.0	60.0	80.0	100.0
通過	~0.15	~0.3	~0.6	~2.5	~5.0	~13.6	~40.0	~60.0	~80.0	~100.0	~120.0	
比重	2.632	2.658	2.638	2.608	2.642	2.536	2.561	2.573	2.602	2.571	2.574	2.594

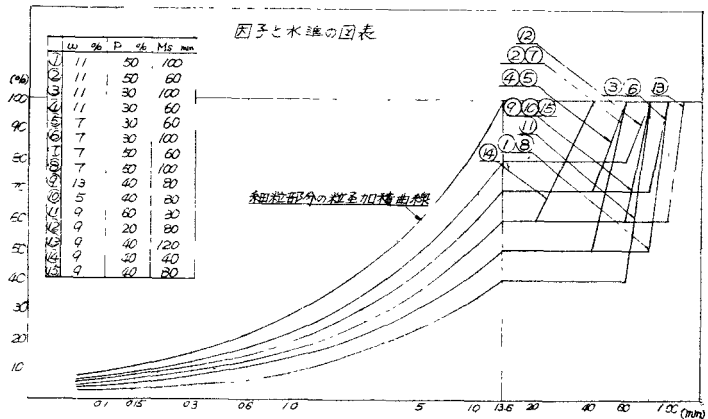
4. 含水比、混レキ率、

図表-1 w, P, Msの実験計画図表

最大粒径によるnの算定

Box & Wilsonの composite designをもちい、w, P, Msに関して2次式への展開をおこし、係数を求めた結果、つぎの(1)式をえた。

$$\begin{aligned}
 x_1 &= w \text{ (含水比)} \\
 x_2 &= P \text{ (混レキ率)} \\
 x_3 &= M_s \text{ (最大粒径)}
 \end{aligned}$$



$$\begin{aligned}
 Y &= b_0 + b_1 x_1 + b_2 x_2 + b_3 x_3 + b_{11} x_1^2 + b_{22} x_2^2 + b_{33} x_3^2 + b_{12} x_1 x_2 + b_{13} x_1 x_3 + b_{23} x_2 x_3 \\
 &= 2.208 + 0.0175 x_1 + 0.01725 x_2 + 0.002 x_3 - 0.006806 x_1^2 - 0.004056 x_2^2 + 0.001694 x_3^2
 \end{aligned}$$

$$+ 0.0165 x_1 x_2 - 0.0045 x_1 x_3 + 0.01 x_2 x_3 \quad (1)$$

5. 計算式のグラフ化

5-1 $\gamma_d \sim w$

図-2 (a)~(e)について

(1) 最大粒径が決まれば混シキ率に関係なく、乾燥密度があまり変動しない非鋭敏含水比が存在する。

(2) 非鋭敏含水比は、最大粒径が大である程小さくなる。

(3) 非鋭敏含水比の値の動きには階差の規則性がみられる。

(4) 含水比を横軸にとれば全て上に凸の曲線となる。

休絶対値を無視すれば 図-2 (a)~(e) は二次放物線の連続である。

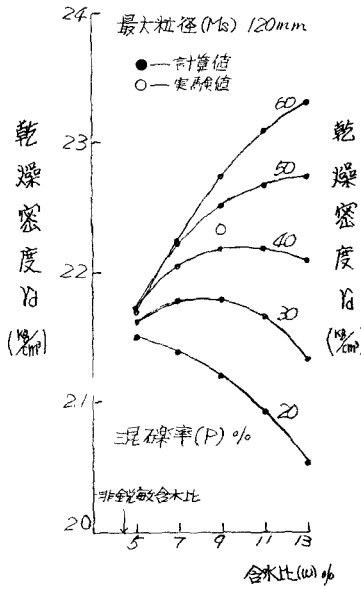


図-2-(a)

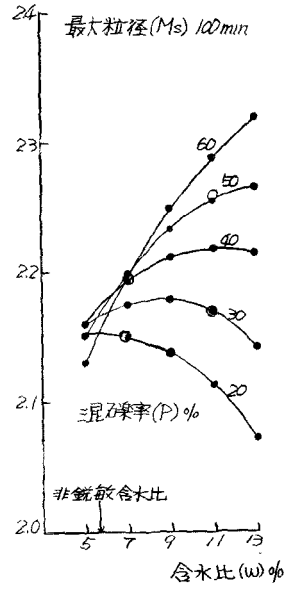


図-2-(b)

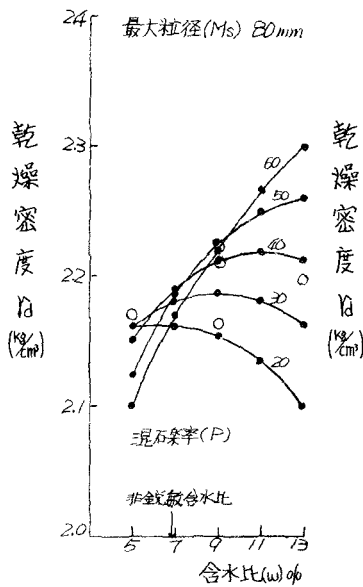


図-2-(c)

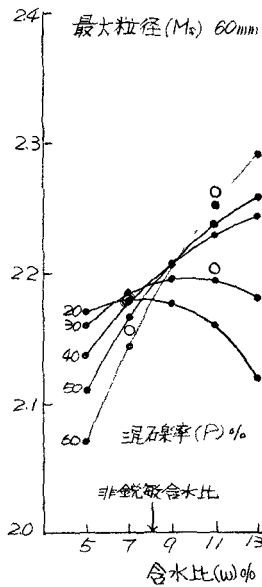


図-2-(d)

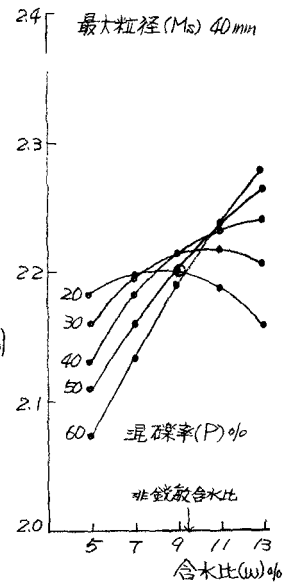


図-2-(e)

5-2 $\gamma \sim P$

図-3 (a)~(e)について

①含水比が決まれば、最大粒径に関係なく、 γ_d があまり変動しない非鋭敏混シキ率が存在する。

②非鋭敏混シキ率は含水比が大である程大になる。

③非鋭敏混シキ率値の動きには階差の規則性がみられる。

④混シキ率と横軸にとれば、全て上に凸の曲線となり

Humphresの方法により求めた $\gamma_d \sim P$ 曲線と類似する。

⑤絶対値を無視すれば 図-3 (a)~(e) は2次放物線の連続である。

乾燥密度 γ_d (% cm^3)

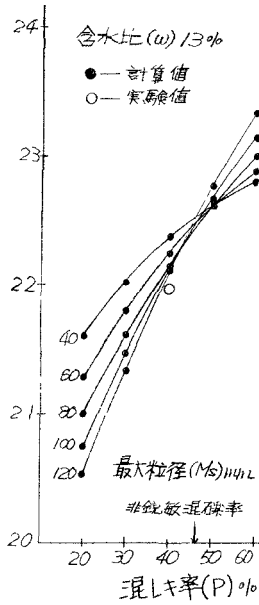


図-3-(a)

乾燥密度 γ_d (% cm^3)

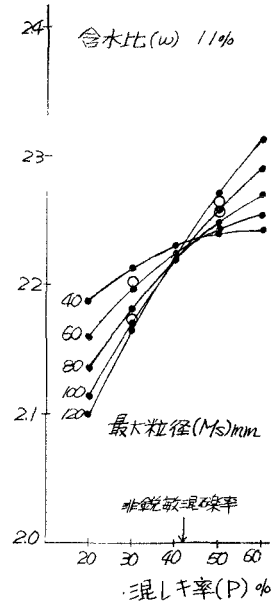


図-3-(b)

乾燥密度 γ_d (% cm^3)

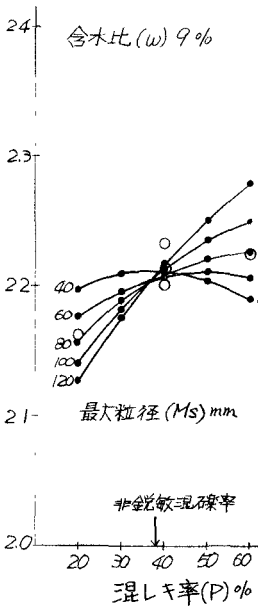


図-3-(c)

乾燥密度 γ_d (% cm^3)

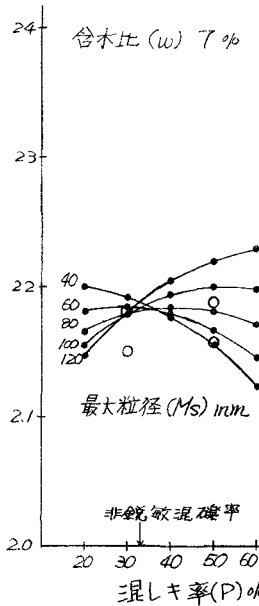


図-3-(d)

乾燥密度 γ_d (% cm^3)

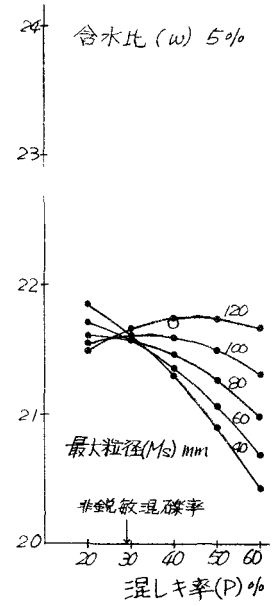


図-3-(e)

5-3 $\gamma_d \sim M_s$

図-4(a)~(e)について

(1) 混シキ率が変ると、含水比に関係なく、乾燥密度があまり変動しない非鋭敏最大粒径が存在しそうである。

(2) 非鋭敏最大粒径は混シキ率が大きである程大である。

(3) 最大粒径を横軸にとれば、全て下に凹の曲線となる。

(4) 絶対値を無視すれば、図-4(a)~(e)は、2次放物線の連続である。

乾燥密度 γ_d (%)

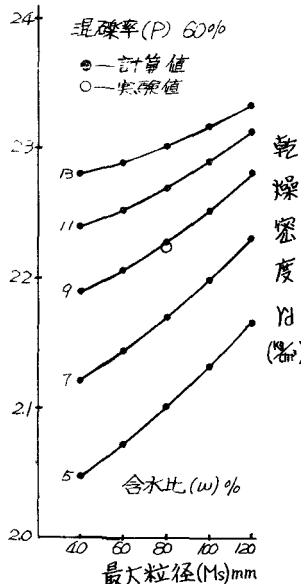


図-4-(a)

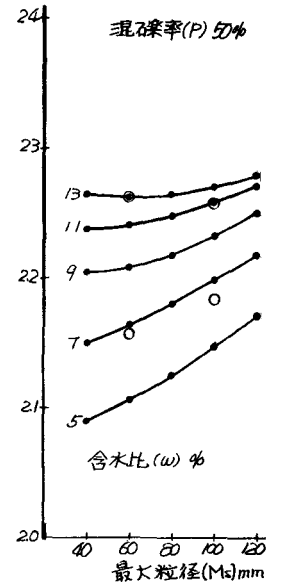


図-4-(b)

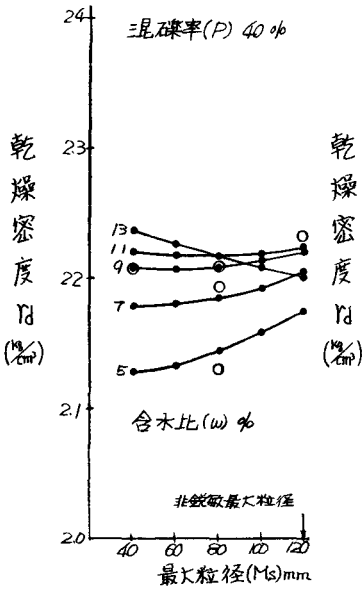


図-4-(c)

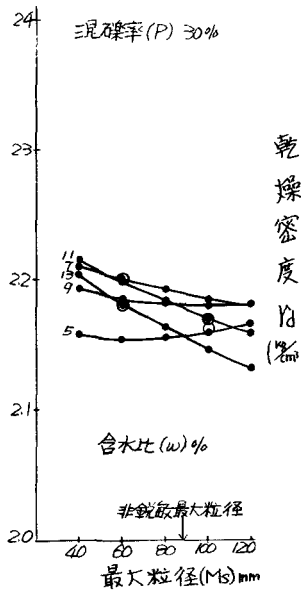


図-4-(d)

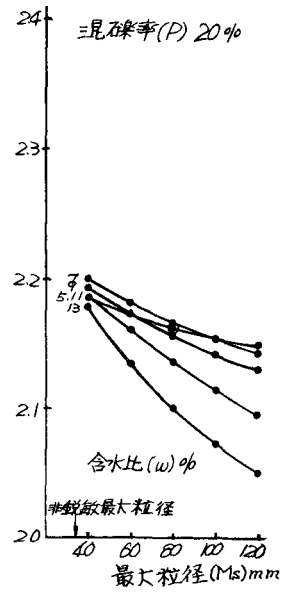


図-4-(e)

6. 結論

[1] 非鋭敏含水比, 非鋭敏混シキ率, 非鋭敏最大粒径の存在が判明し, その値の動きに階差の規則性がみられる。[2] 図-2 については従来の $\gamma_d \sim \omega$ 曲線と類似する。[3] 図-3 について Humphres の $\gamma_d \sim P$ 曲線と類似する [4] 図-4 について, $\gamma_d \sim M_s$ 曲線下に凹になる。

お本実験には, 44年度学生上野, 上村, 吉柳, 永田, 服部, 吉村君の協力を得た。